#### Общая тема:

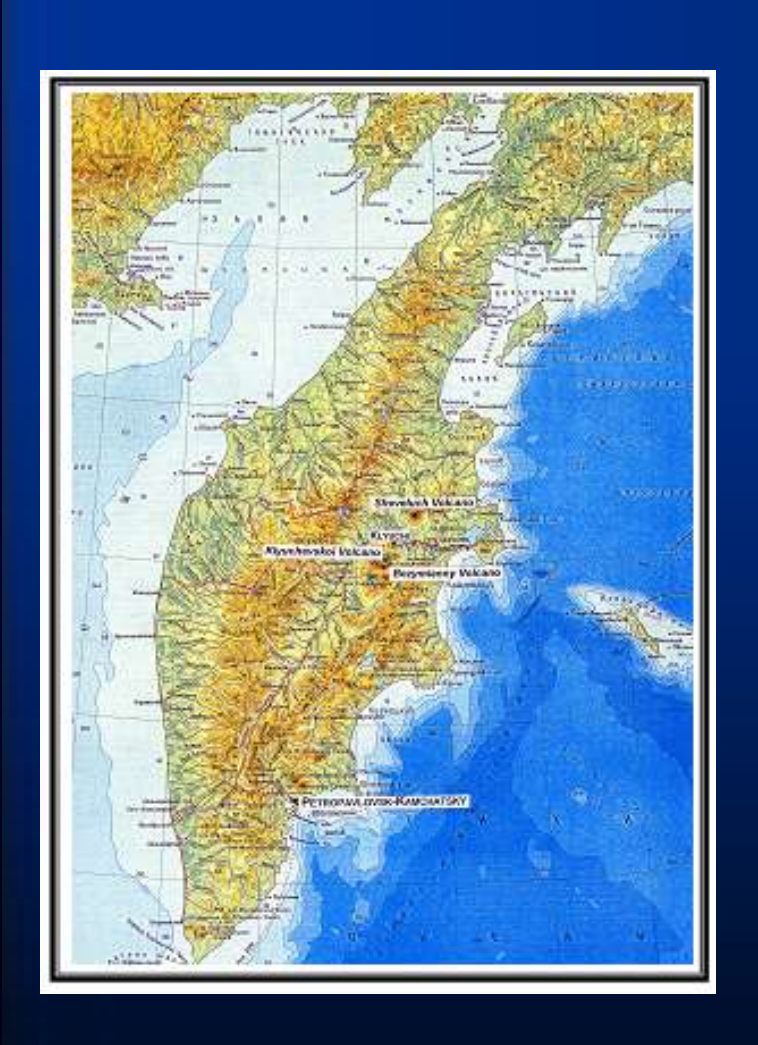
#### AKTUBHLIE OKPAUHLI KOHTUHEHTOB

Лекция № 24 (продолжение)

#### КАМЧАТКА:

тектоническая эволюция, особенности магматизма и субдукционной геодинамики

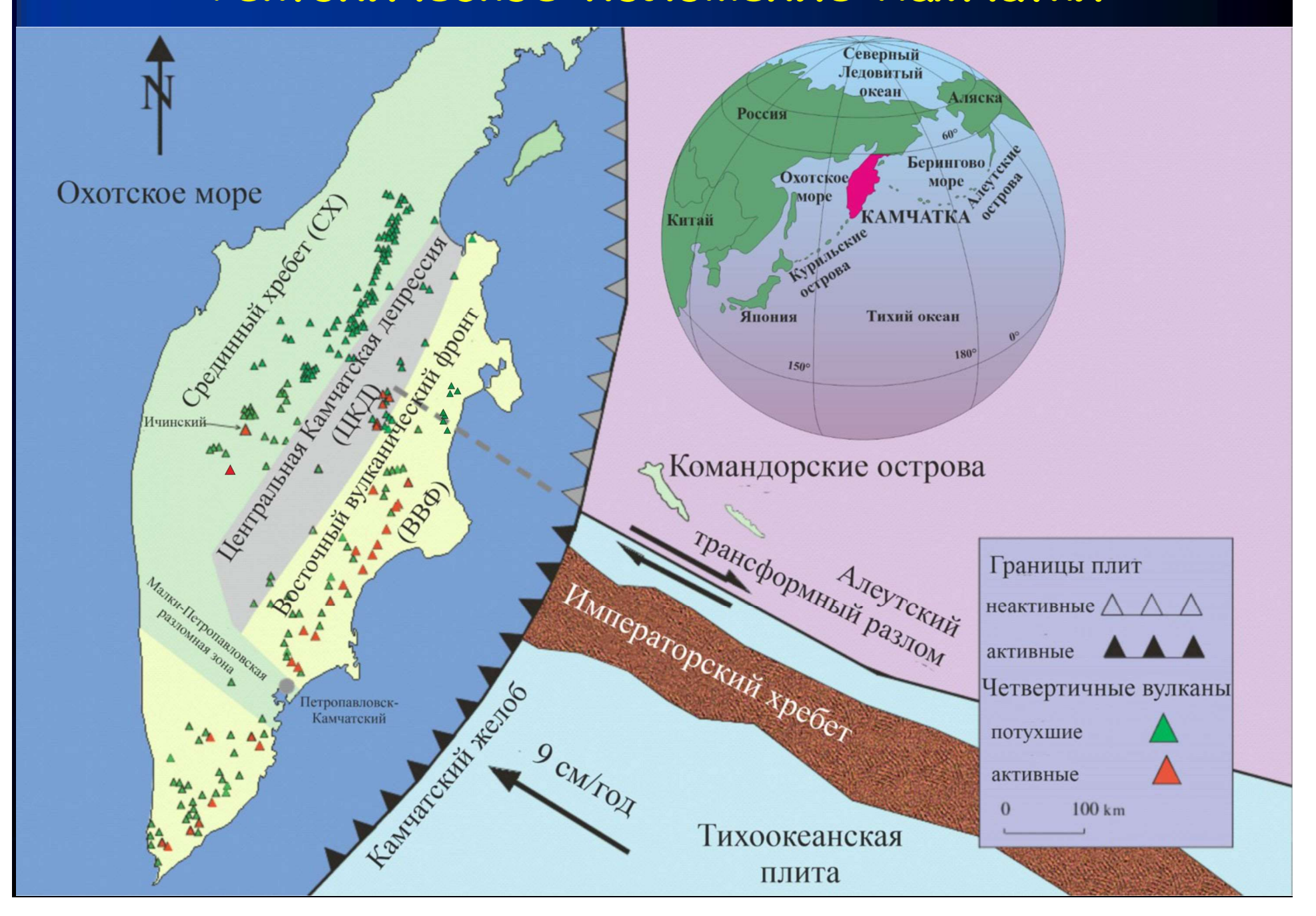
#### Основы геологической истории Камчатки



Геологическое развитие Камчатки представляет собой неоднократную смену геодинамических обстановок, проявлением не только субдукционных и аккреционно-коллизионных процессов, но также рифтогенных процессов

(например, Леглер, 1977; Соловьев и др., 1998; Богданов, Чехович, 2002, 2004; Константиновская, 2003).

#### Тектоническое положение Камчатки



#### Зоны шлаковых конусов Срединного хребта



## Толбачинская зона шлаковых конусов (Восточная камчатка)



Из доклада Т. Чуриковой (2022)

## Последовательность формирования островных дуг

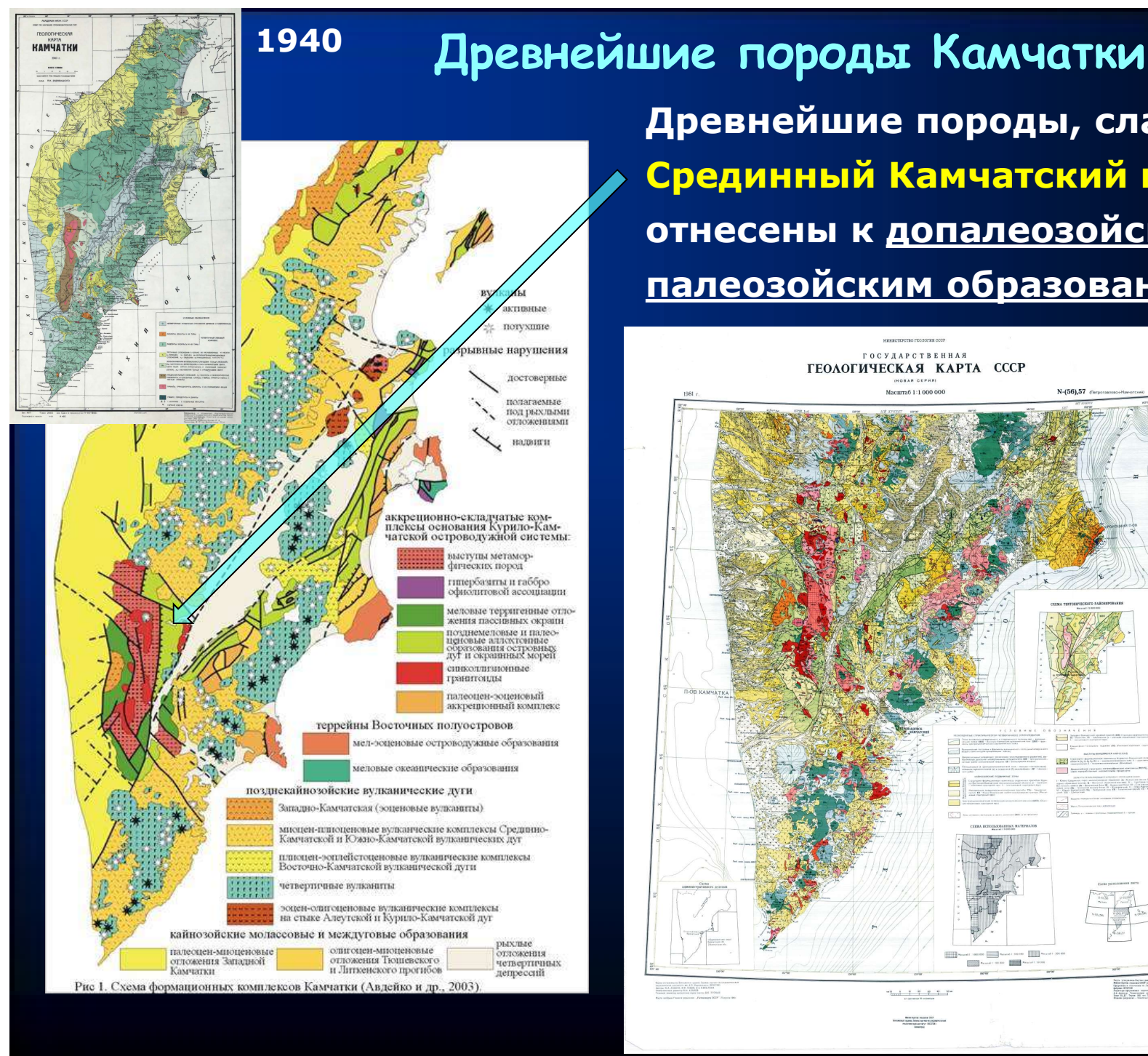


#### История геологического развития Камчатки

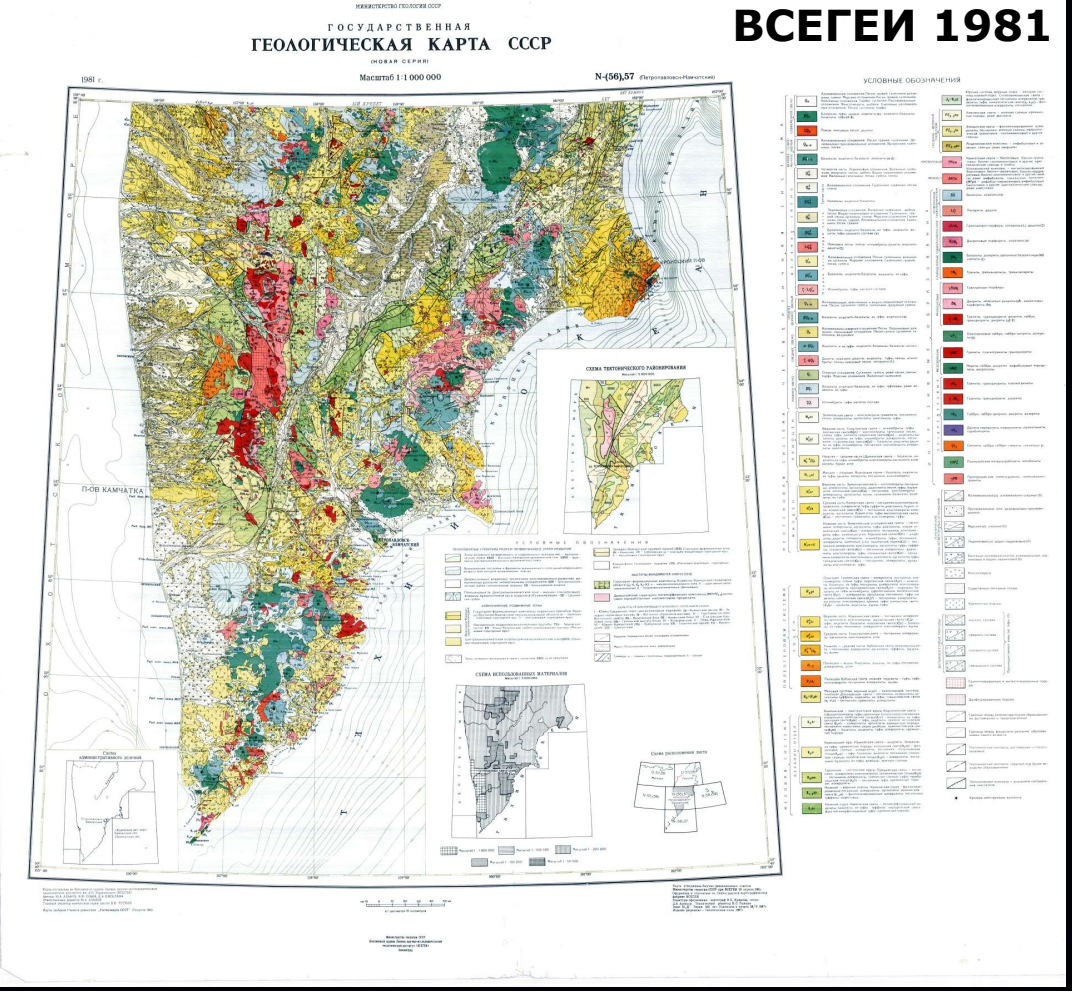
Более или менее точные данные о геологических событиях, происходивших на площади Камчатского полуострова, имеются, начиная с конца мела ~60 млн. лет назад.

Более древние, чем верхнемеловые, образования имеют здесь ограниченное распространение и плохо изучены. Полуостровное положение Камчатки затрудняет сопоставление камчатских "немых" толщ с разрезами других областей.

Поэтому о геологических условиях допозднемелового времени можно высказать лишь самые общие соображения.



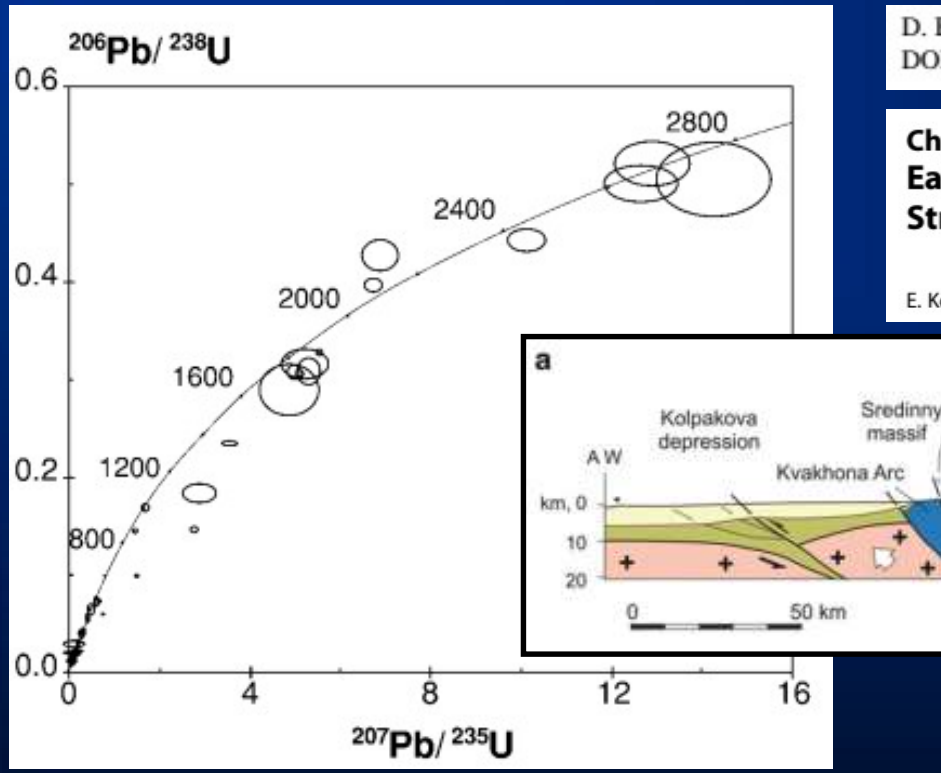
Древнейшие породы, слагающие Срединный Камчатский массив, отнесены к допалеозойским и палеозойским образованиям.



#### Древнейшие породы Камчатки

Archean Protolith and Accretion of Crust in Kamchatka: SHRIMP Dating of Zircons from Sredinny and Ganal Massifs

I. N. Bindeman, V. I. Vinogradov, J. W. Valley, J. L. Wooden, and B. A. Natal'in<sup>3</sup>



D. Brown and P.D. Ryan (eds.), Arc-Continent Collision, Frontiers in Earth Sciences, DOI 10.1007/978-3-540-88558-0\_9, © Springer-Verlag Berlin Heidelberg 2011

#### Chapter 9 Early Eocene Arc-Continent Collision in Kamchatka, Russia: Structural Evolution and Geodynamic Model

PENINSULA

E. Konstantinovskaya

KAMCHATKA

EBNW OVA

Andrianovka

Fig. 9.5 (a) Interpretative profile along line A-B-C, modified after Konstantinovskaya (2002). Legend: (1) Paleogene and (2) Cretaceous oceanic crust; (3) mantle lithosphere of subducted fore-arc block; (4) syncollisional equigranular granites (52 ± 2 Ma); (5) Krutogorov gneissic granites (80–78 Ma). Other symbols as in Fig. 9.4. (b) Seismic time section across the south-

Vetlovsky thrust

Kronotsky SE C

3 4 4

#### Древнейшая история Камчатки

ГЕОХРОНОЛОГИЧЕСКАЯ ШКАЛА ЗЕМЛИ				
Эра	Период	Начало	Продолж.	
Эра	Период	млн,лет	млн. лет	
Кайнозойская КZ	Четвертичный Q	2,58	2,58	
	Неогеновый N	23	20	
	Палеогеновый Pg	66	43	
Мезозойская МZ	Меловой К	145	79	
	Юрский Ј	201	56	
	Триасовый Т	252	51	
Палеозойская PZ	Пермский Р	299	47	
	Каменноугольный С	359	60	
	Девонский D	419	60	
	Силурийский S	444	25	
	Ордовикский О	485	41	
	Кембрийский Є	541	56	
ДОКЕМБРИЙ (Протерозой)				
Неопротерозойская	Эдиакарий	635	94	

Предполагают, что в среднем палеозое на месте Камчатки существовал континентальный массив – "Берингия".

Этот континент существовал в течение почти всего мезозоя, будучи сушей.

В середине мела большая часть площади Камчатки была вовлечена в погружение и покрыта водами моря, трансгрессировавшего с севера.

#### Конец мелового периода

После тектонических движений в конце мелового времени море ушло с территории Камчатки и на ее площади возник горный рельеф. Наиболее крупные возвышенности располагались на месте современных Срединного Камчатского массива древних пород, восточных хребтов, а также хребтов Медвежьего, Ирунейского, Пенсантайн.

В это время на месте центральной и северной частей Срединного хребта возник свод (антиклинальное поднятие), морфологически выраженное также в виде хребта.

Эта водораздельная горная гряда в дальнейшем обусловила различные условия осадконакопления на Западной и Восточной Камчатке.

#### Обратимся к геодинамическим моделям...





Фундамент Охотоморской плиты:

Южно-Курильская котловина – кора океанического типа, а к северу о нее (Южно-охотский рифт) нет определенности...

#### Неопределенность истории Западной Камчатки

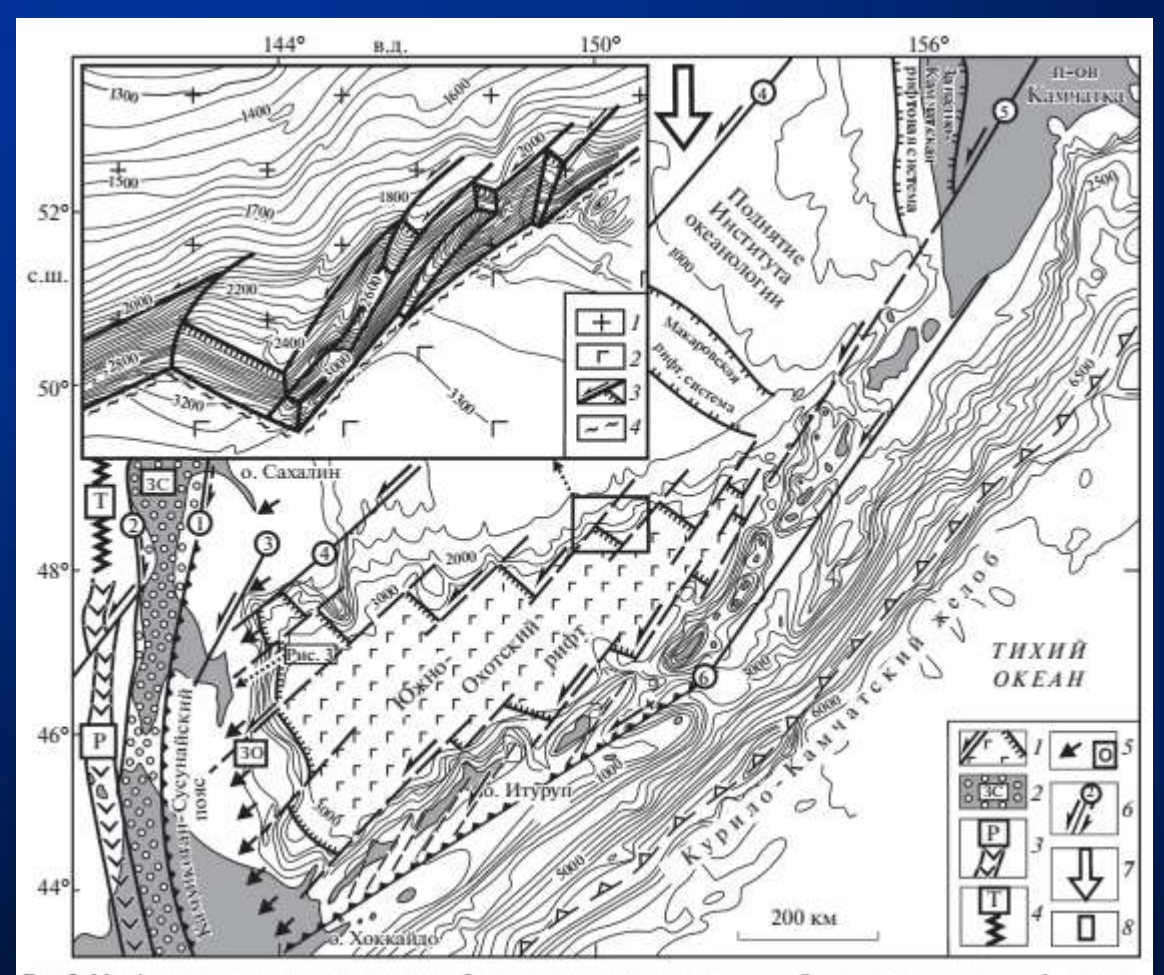


Рис. 2. Морфология и кинематика структурообразующего течения коровых масс Охотоморского региона. *I* − сдвигораздвиговые границы Южно-Охотского рифта с корой океанического типа; 2−4 − Хоккайдо-Сахалинская система рифтов: 3С − Западно-Сахалинский (2), Р − Ребун-Манеронский (3), Т − Татарский (4); 5 − Западно-Охотский поясфронтального сжатия, динамоморфизма и чешуйчато-надвигового скучивания коровых масс; 6 − сдвиги: Поронайский (1), Западно-Сахалинский (2), Мерейский (3), Пенжинский (4), Восточно-Камчатский (5), Срединно-Курильский с взбросовой составляющей на южном фланге (6); 7 − направление ротационных сил; 8 − положение рис. 3.

Ряд исследователей считают, что Охотоморская плита является континентальным или субконтинентальным блоком, столкнувшимся с Евразией [Парфенов, Натальин, 1977; Ханчук, 1985 и Скорости сейсмических волн в фундаменте Охотоморской плиты как в коре переходного типа. Поэтому высказана идея о том, что она представляет аккретированное к краю Азиатского континента океаническое плато [Watson, Fujita, 1985; Богданов, Чехович, 20027 рассматривают как часть Охотоморской плиты; другие выделяют самостоятельную Западно-Камчатскую микроплиту

ДОКЛАДЫ АКАДЕМИИ НАУК, 2017, том 472, № 5, с. 566—571
======================================
УДК 551.24:551.7+551.462:551.24(5)
CTDV//TV/DOOFD423/JOHIEF TEHELIHE VODODI IV MACC

СТРУКТУРООБРАЗУЮЩЕЕ ТЕЧЕНИЕ КОРОВЫХ МАСС (НА ПРИМЕРЕ ФОРМИРОВАНИЯ ЯПОНСКОГО И ОХОТСКОГО МОРЕЙ)
© 2017 г. В. П. Уткин

А.В.Соловьев

ТЕКТОНИКА ЗАПАДНОЙ КАМЧАТКИ ПО ДАННЫМ ТРЕКОВОГО ДАТИРОВАНИЯ И СТРУКТУРНОГО АНАЛИЗА

#### Геологическая история Восточной Камчатки

Мы акцентируем внимание на Срединной и Восточной части Камчатки



Что касается более поздней истории Камчатки, последнее геодинамическое событие, датируемое поздним миоцен плиоценом (~6 млн.лет), связано со смещением к востоку вулканического фронта и формированием современной тектонической конфигурации, включающую Восточный вулканический пояс (ВВП) и тыловую зону, включающую Центральную Камчатскую депрессию (ЦКД) и Срединный хребет (СХ).

Вулканические зоны Камчатки

#### Геологическая история Восточной Камчатки

Это тектоническое событие рассматривается

большинством исследователей (Авдейко и др., 2006;

Константиновская, 1999; Леглер, 1977; Шапиро, Ландер, 2003; Seliverstov, 1998;

Alexeiev et al., 2006; Lander and Shapiro, 2007 и др.) как результат:

(1) ступенчатой аккреции Кроноцкой неовулканической дуги,

(2) блокировки олигоцен-миоценовой зоны субдукции и

формирования нового слэба.

В некоторых работах структурную перестройку полуострова связывают с увеличением угла наклона погружающейся океанической плиты (Селиверстов 2009; Volynets et al.

2010)

Срединный Хребет Камчатская Восточная Камчатка

О Вулканическая дуга Фронт дуги

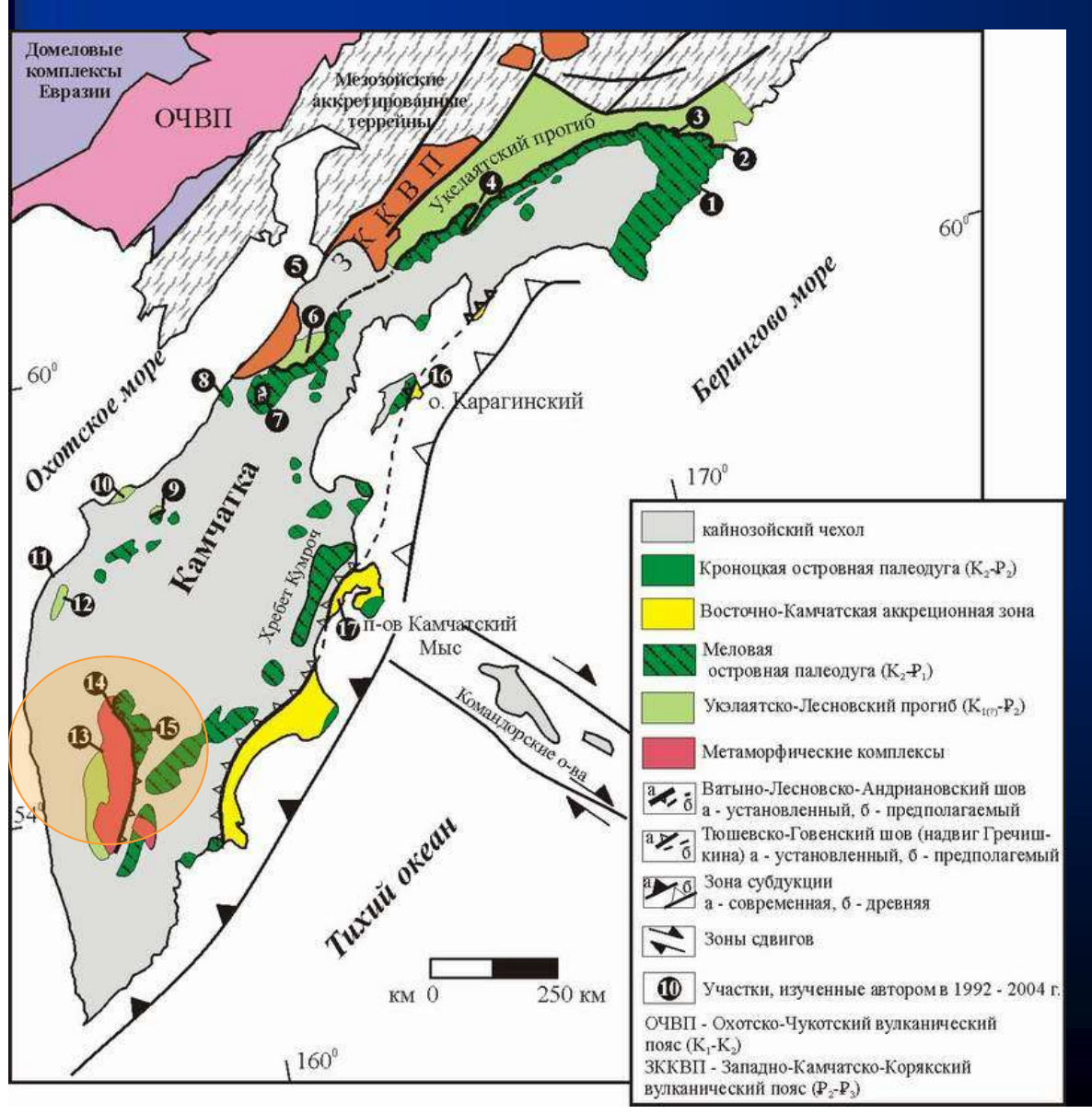
О КМ

100200-

или с рифтогенезом, не связанным с субдукцией (Перепелов и др., 2006; Колосков и др., 2013, и др.).

#### Схема тектонического строения Камчатки и юга Корякии

(по Тильман, Богданов, 1992; Шапиро, 1995; Объяснительная записка..., 2000; с изменениями А.В. Соловьева)

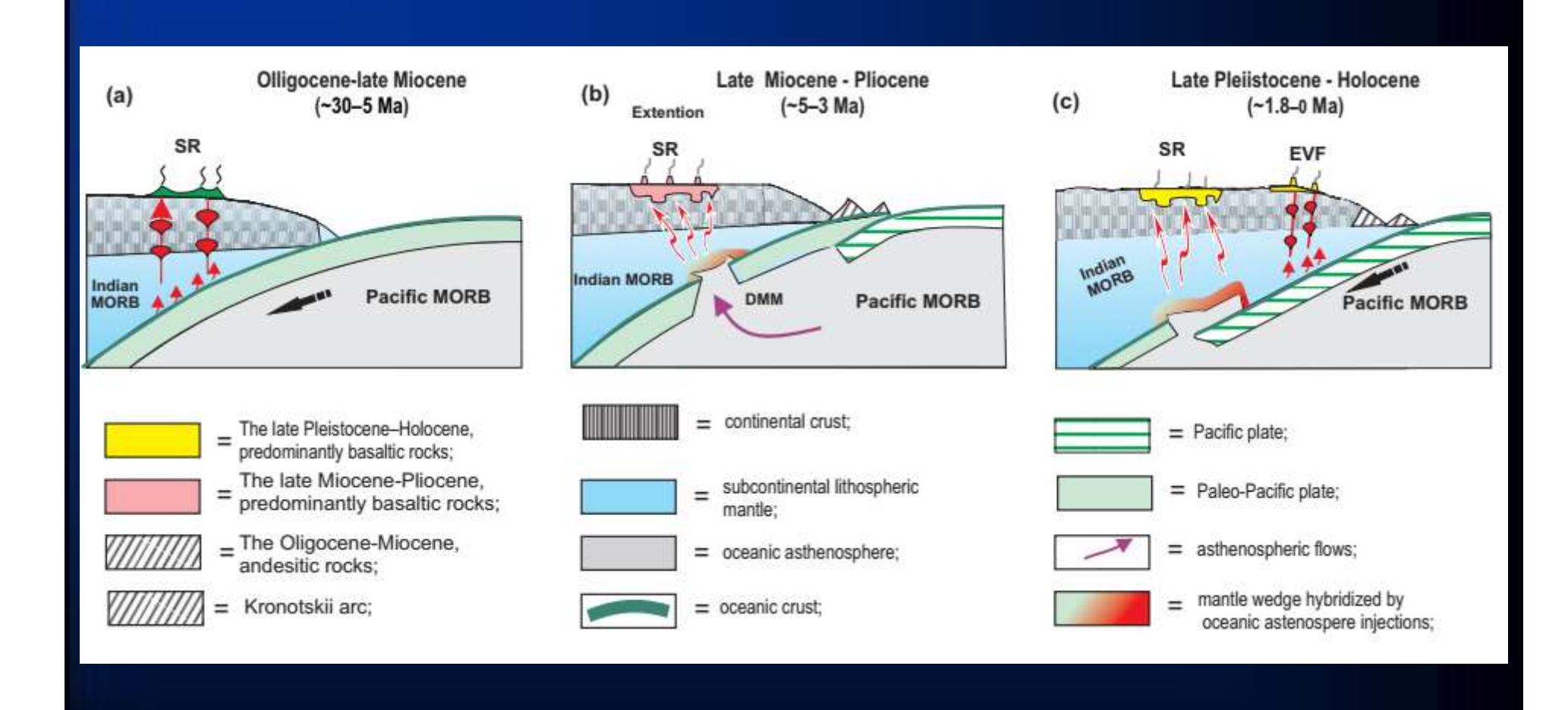


Цифрами в черных кружках показаны участки, изученные A.B. Соловьевым:

- 1 мыс Витгенштейна,
- 2 бухта Анастасия,
- 3 реки Ильпи и Матыскен,
- 4 река Тапельваям,
- 5 мыс Теви,
- 6 Шаманкинский купол,
- 7 Ватапваямский купол,
- 8 устье реки Палана,
- 9 река Рассошина,
- 10 хребет Омгон,
- 11 мыс Хайрюзова,
- 12 хребет Морошечный,
- 13 река Крутогорова,
- 14 река Облуковина,
- 15 река Левая Андриановка,
- 16 остров Карагинский,
- 17 хребет Кумроч.

#### Модель тектонической эволюции Восточной Камчатки

(по А.В. Давыдовой и Мартынову)



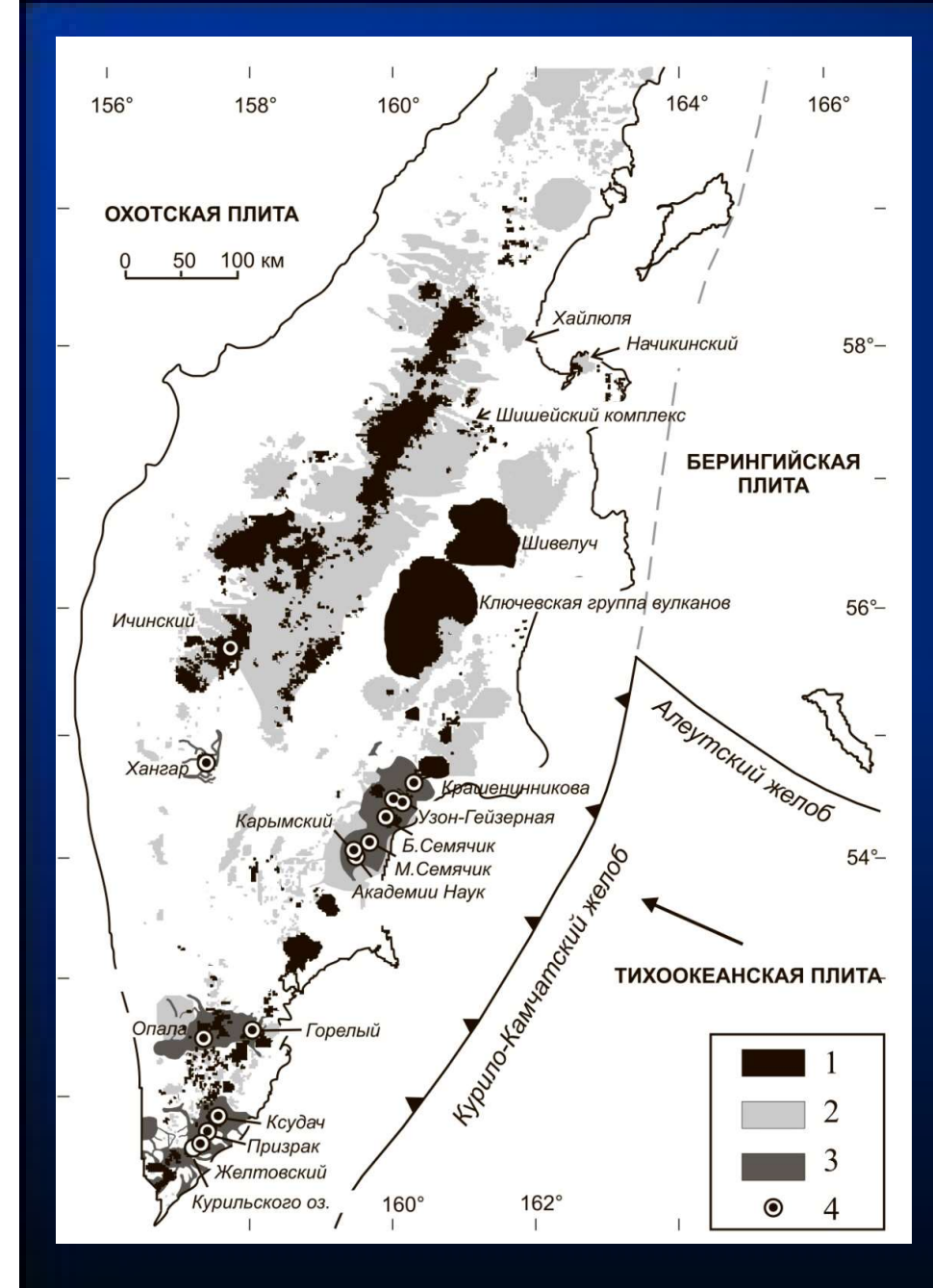
#### Третичный период

(мел-66 - начало ледникового периода-1.8 млн. лет)

При слабой изученности третичных отложений северной половины Восточной Камчатки нельзя уверенно говорить об отсутствии там эоценовых отложений.

При направлении палеогеновых трансгрессий с севера, нижние морские слои на севере области могут иметь более древний возраст, чем в южных районах.

В олигоцене происходило расширение границ морских бассейнов и в них отлагались песчаные, а местами более мелкие осадки. Теплые условия эоцена сменились более умеренными, что, возможно, находилось в связи с открытием палео-Берингова пролива и вторжением в Тихий океан вод Арктического бассейна [1].



#### ЧЕТВЕРТИЧНЫЕ ПОРОДЫ КАМЧАТКИ

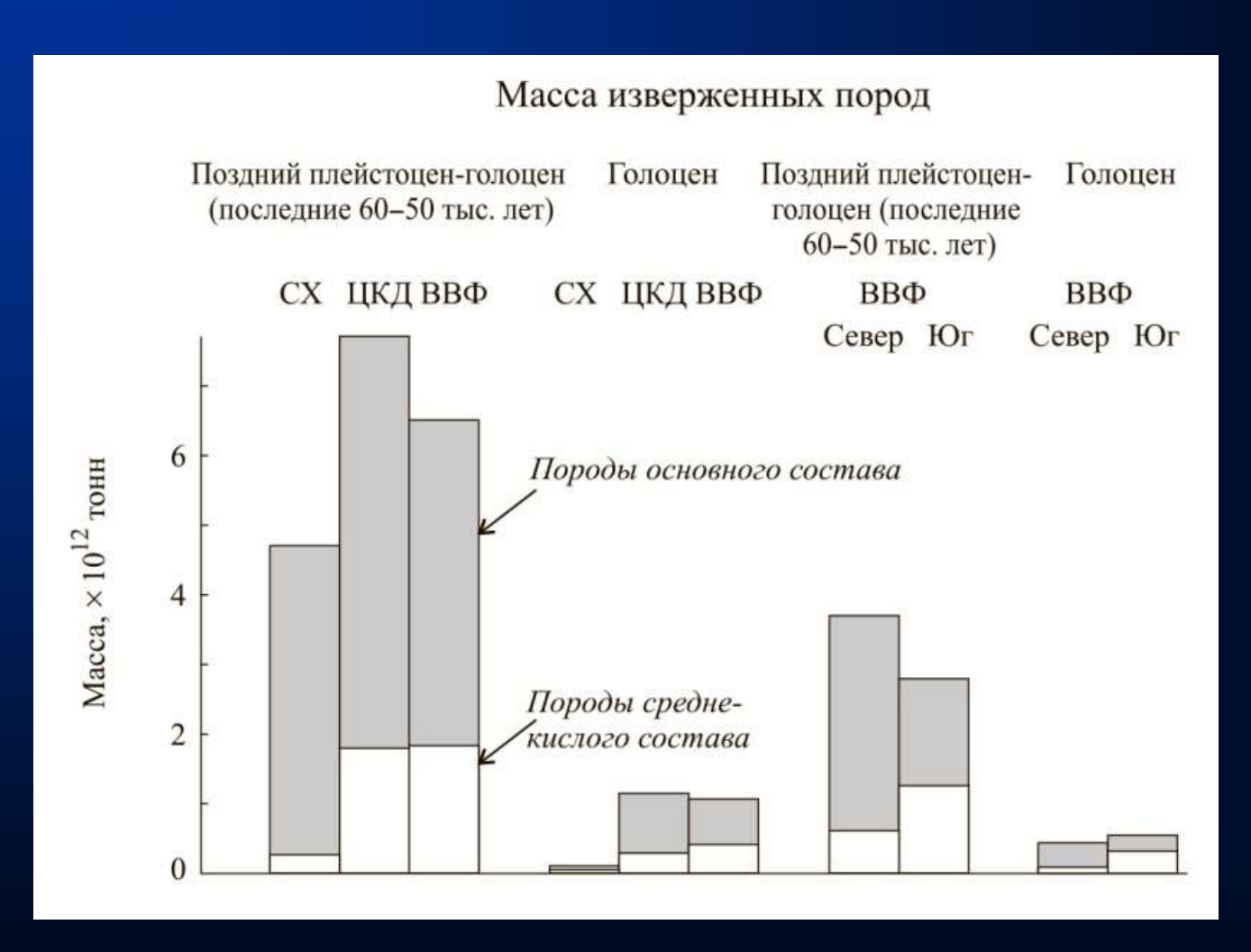
(схема позднеплиоцен-голоценовых полей)

1, 3, 4 - позднеплейстоцен-голоценовые проявлния (0.1 млн. лет назад - настоящее время)

2 - позднеплиоценсреднеплейстоценовые поля (3.6-0.1 млн. лет назад)

Пономарева и др. (2008)

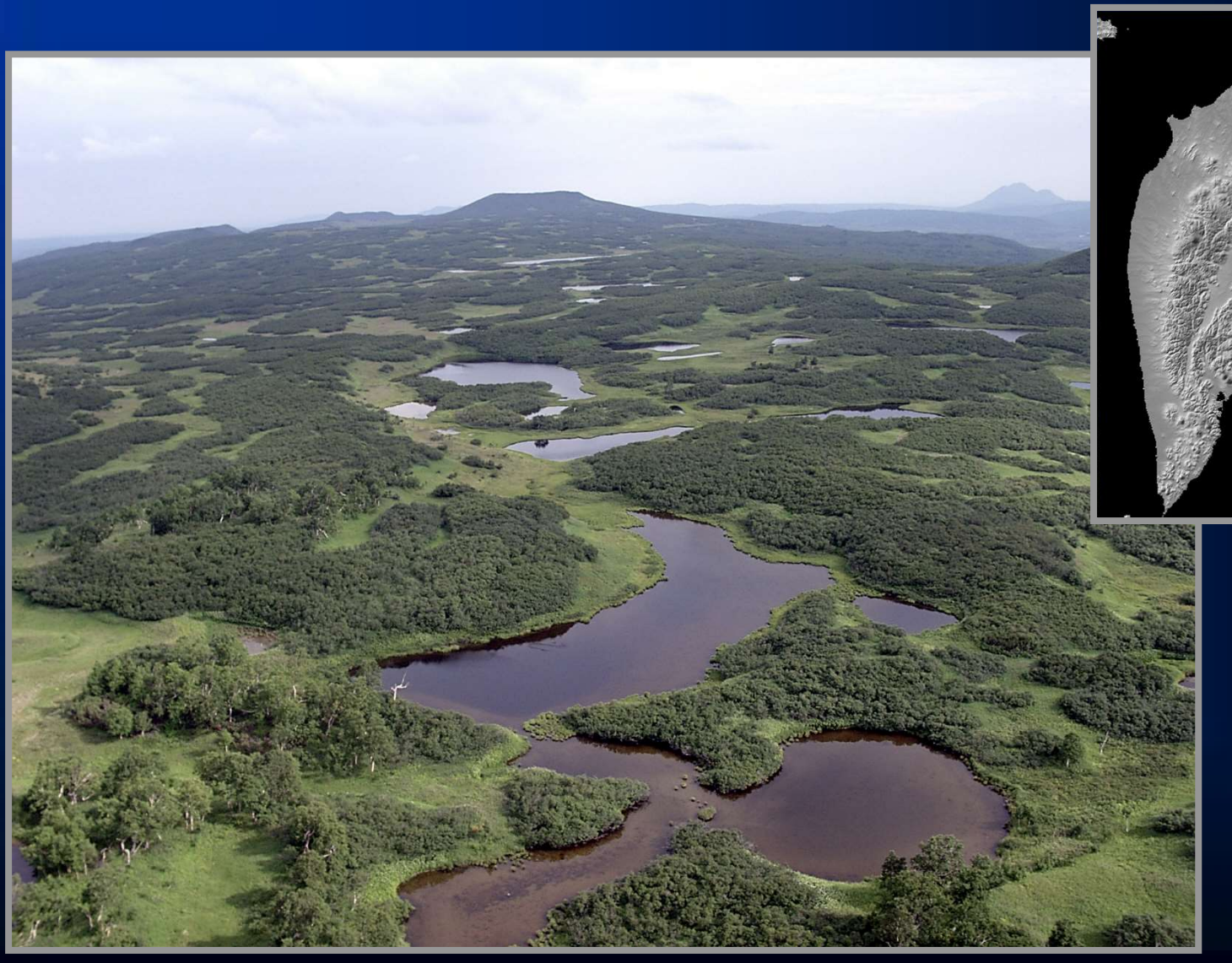
#### Масса изверженных продуктов по вулканическим поясам



Пономарева и др. (2008)

## ПРО ПРОДОЛЬНУЮ И ПОПЕРЕЧНУЮ ЗОНАЛЬНОСТЬ КАМЧАТКИ

## ЗОНА АРЕАЛЬНОГО ВУЛКАНИЗМА В СЕВЕРНОЙ ЧАСТИ ЦЕНТРАЛЬНО-КАМЧАТСКОЙ ДЕПРЕССИИ



Шишейский комплекс

Фото М.В.Портнягина

#### ЛАВОВЫЕ ПОТОКИ ШИШЕЙСКОГО КОМПЛЕКСА

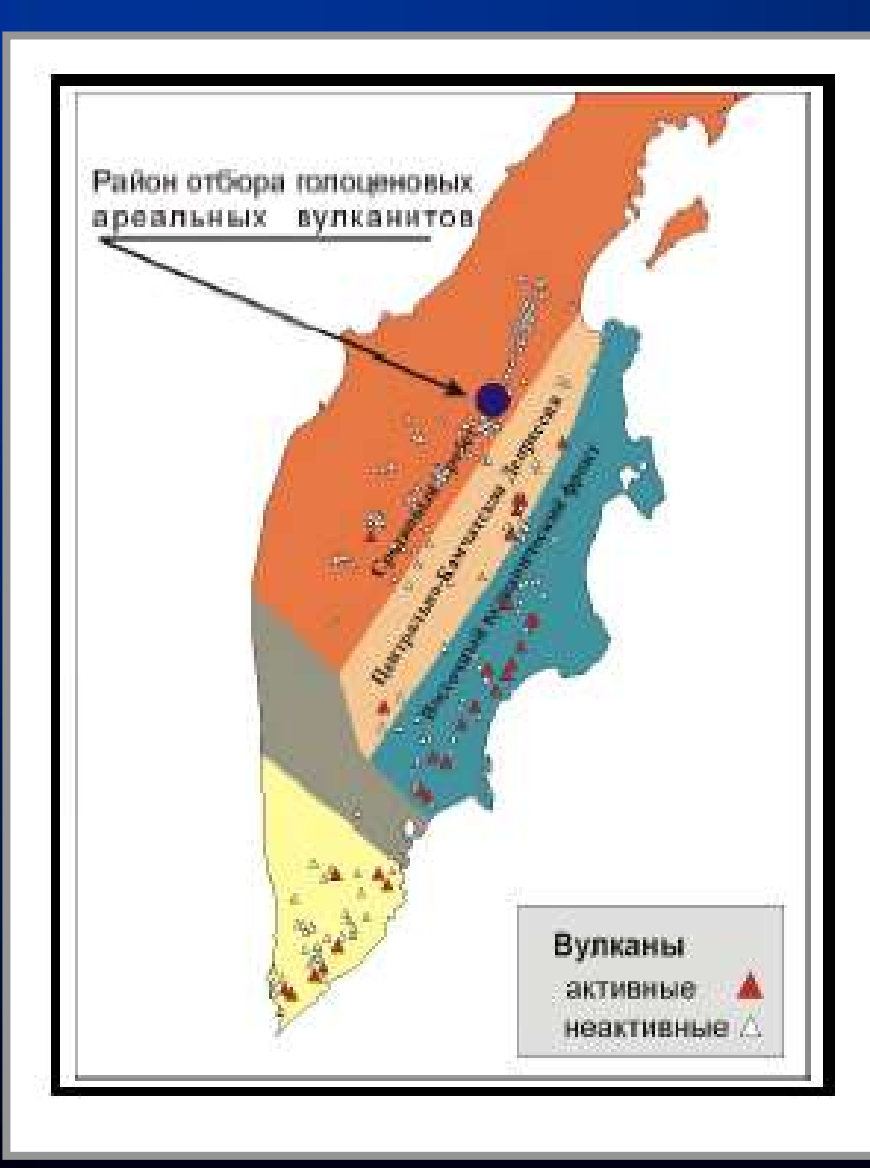


Фотография М.В.Портнягина

## ОБЩИЙ ВИД ЗОНЫ АРЕАЛЬНОГО ВУЛКАНИЗМА СЕВЕРНОЙ ЧАСТИ СРЕДИННОГО ХРЕБТА



### РЕЗУЛЬТАТЫ ИЗУЧЕНИЯ БАЗАЛЬТОВ ГОРЫ ТЕРПУК (Бычков, 2005)



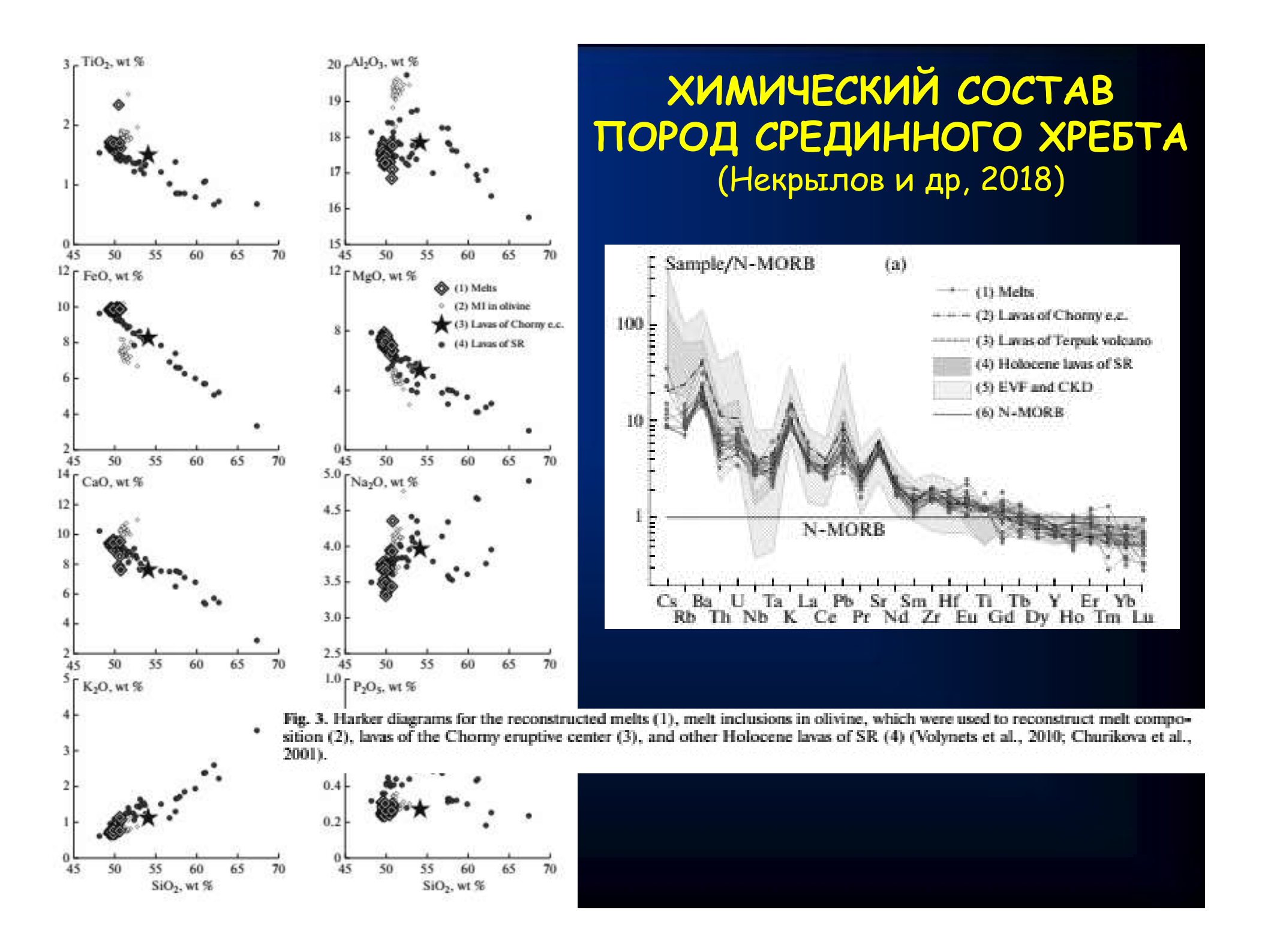
Окислы	ΠK-02/27	TK-02/32	
SiO <sub>2</sub>	49.60	52.10	
TiO <sub>2</sub>	1.38	1.32	
$Al_2O_3$	17.28	17.59	
FeO	9.59	9.64	
MnO	0.17	0.17	
MgO	9.05	6.26	
CaO	9.31	8.38	
Na <sub>2</sub> O	2.41	2.73	
K₂O	0.83	1.19	
P <sub>2</sub> O <sub>5</sub>	0.32	0.60	

Оливин: 78-86% Fo

Плагиоклаз: 65-75% Ап

Температура: ~ 1200°С

Давление: ~ 1.5 кбар



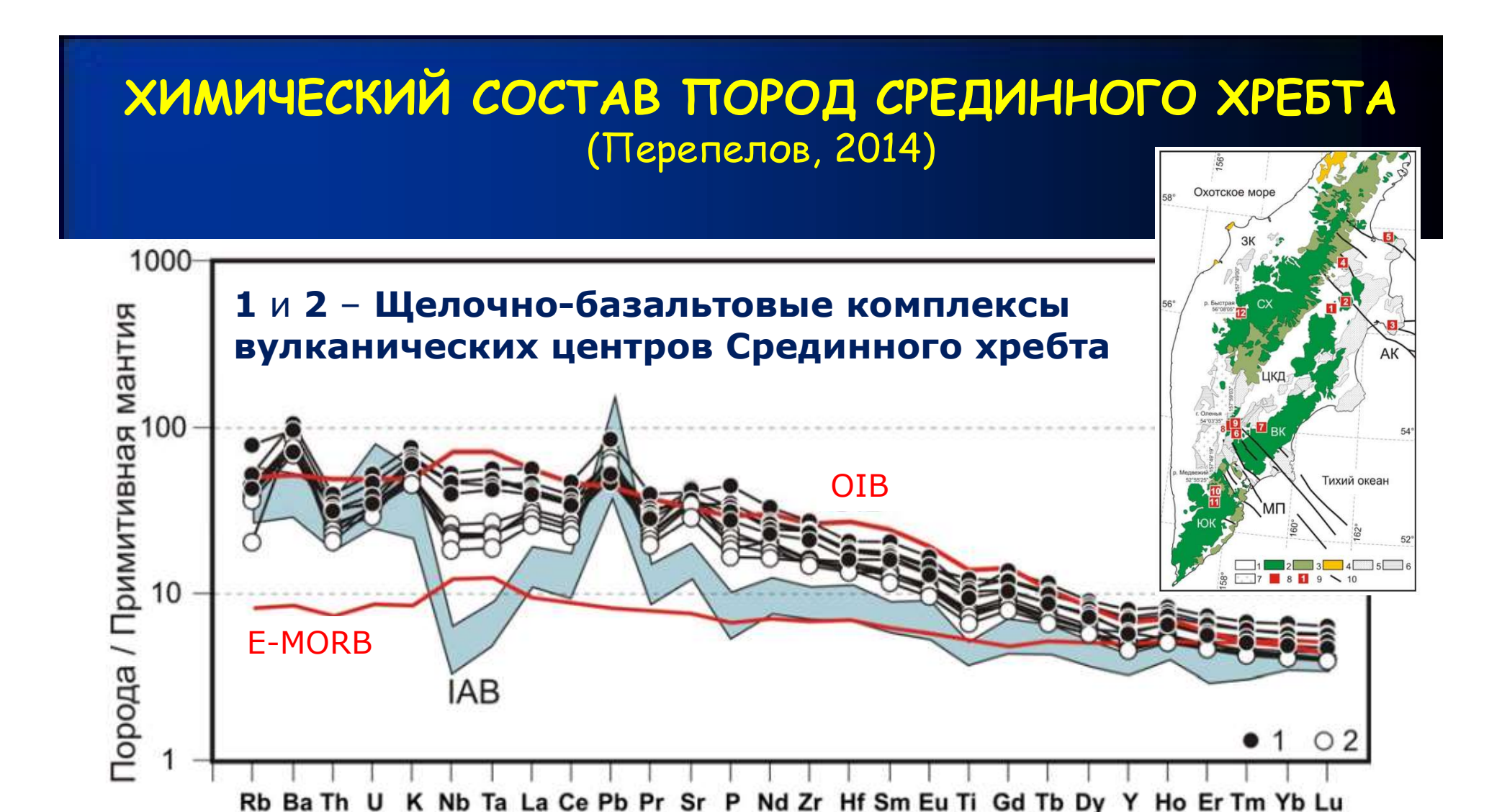


Рис. 11. Диаграмма распределения магматофильных элементов для пород позднеплиоценчетвертичных K-Na щелочно-базальтовых комплексов вулканического пояса Срединного хребта.

Точки составов: 1 – гавайиты и 2 – щелочные базальты позднеплиоцен-четвертичных вулканических центров Срединного хребта.

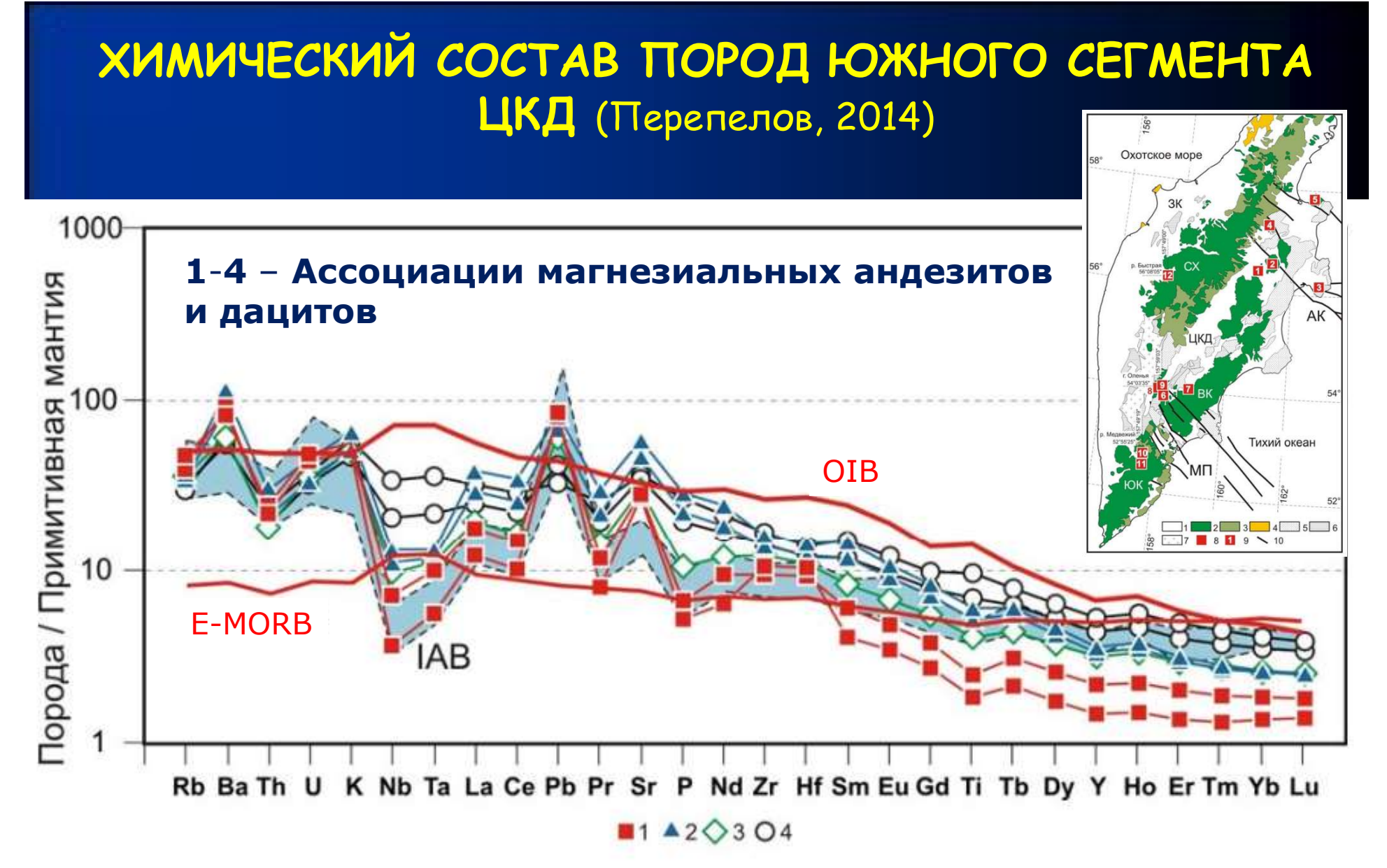
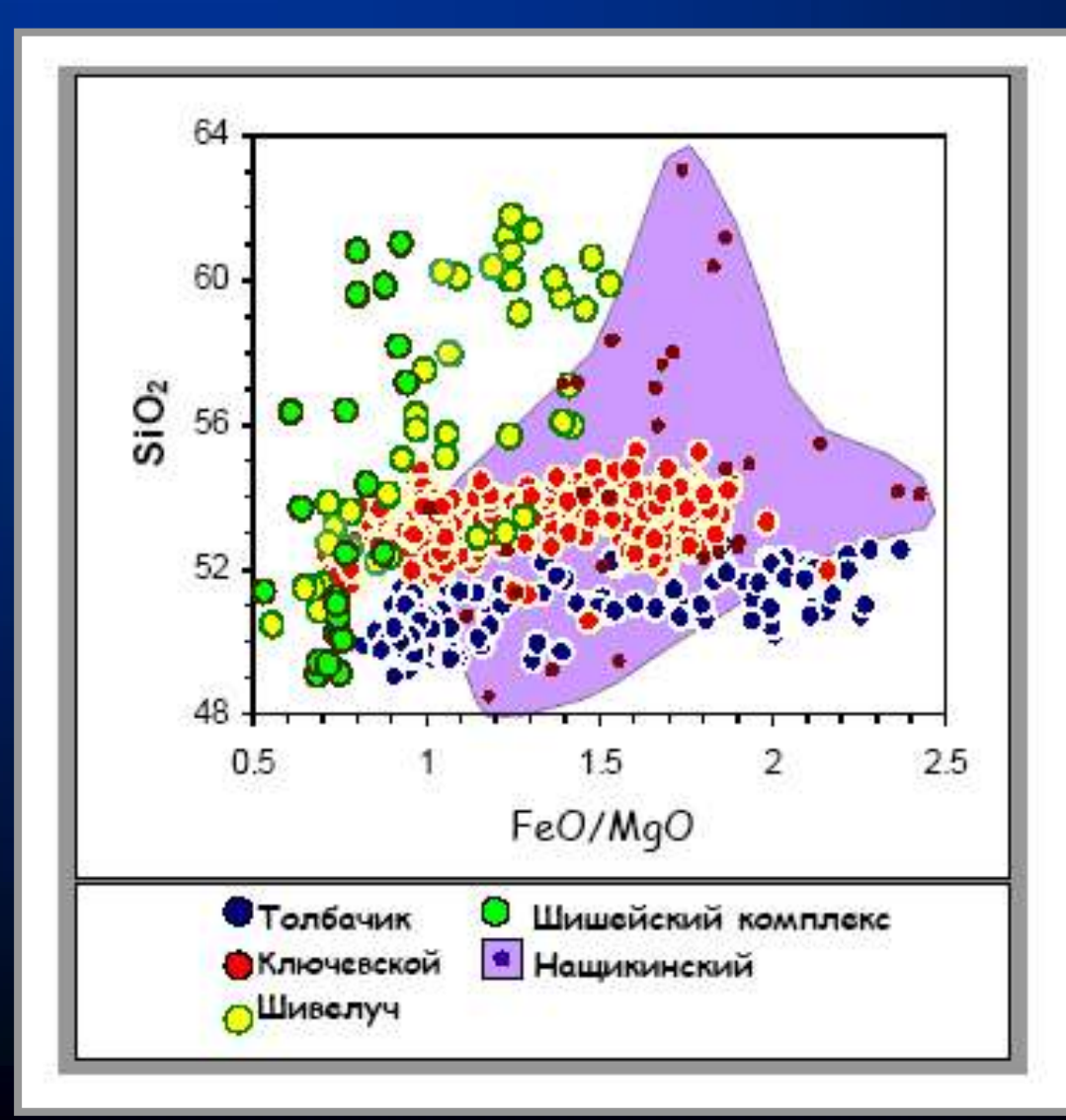
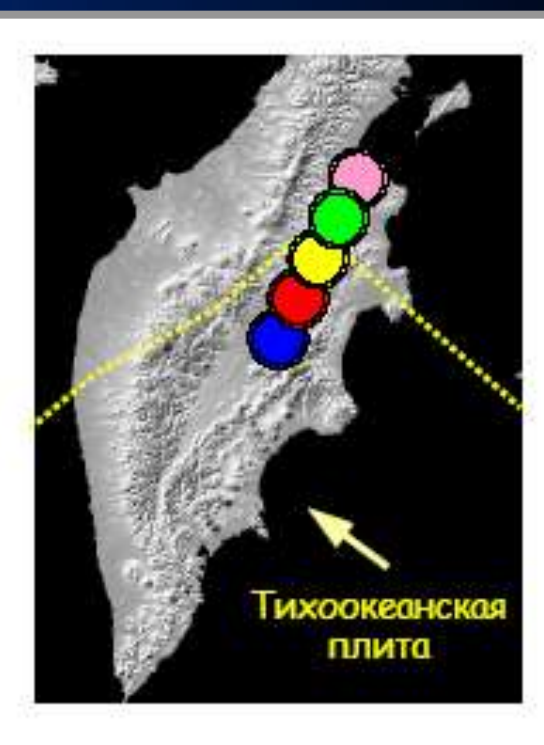


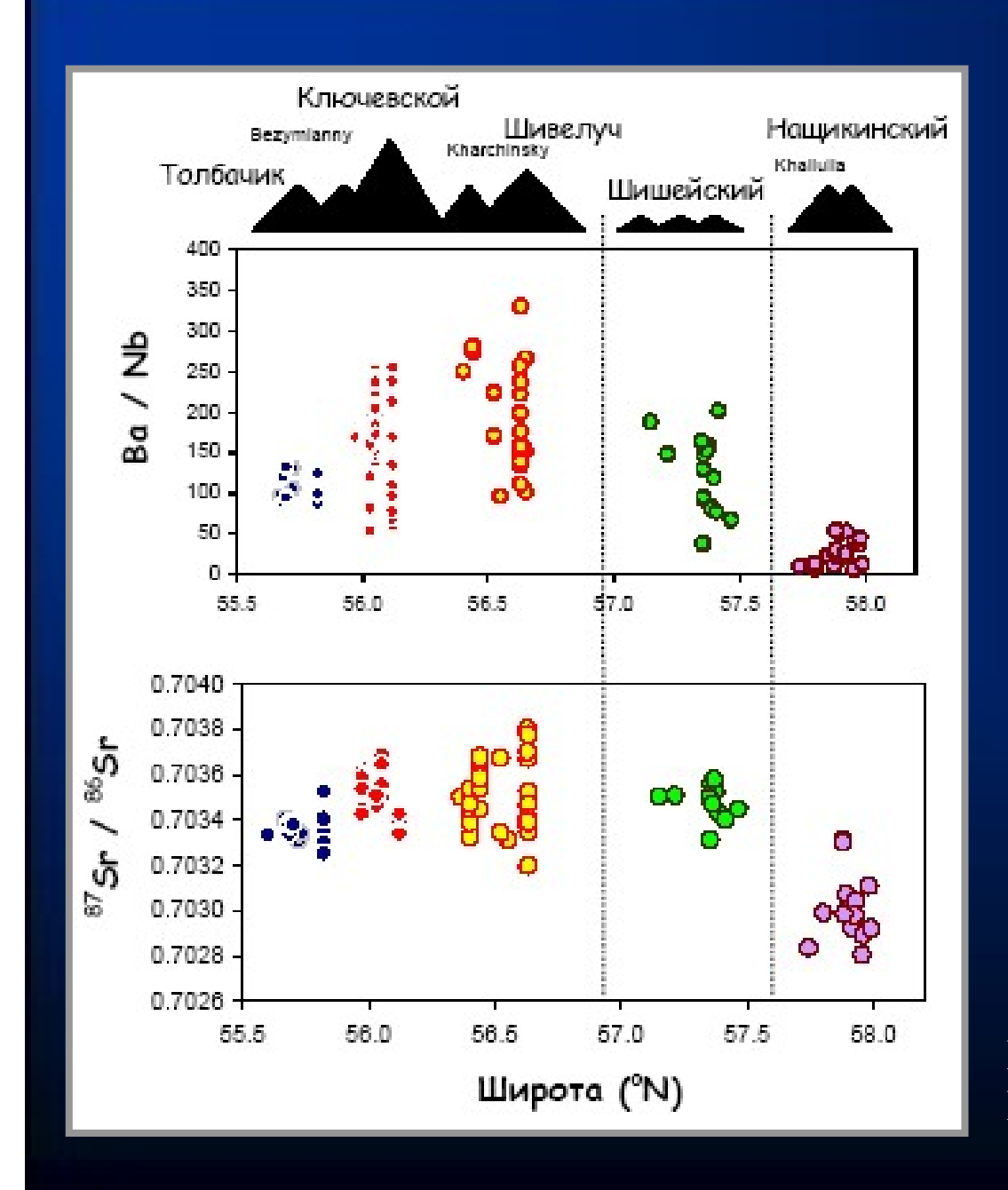
Рис. 17. Распределение магматофильных элементов для пород Mg# андезит-NEBадакитовой ассоциации южного сегмента Центральной Камчатской депрессии.

#### ВАРИАЦИИ SIO2 И ОТНОШЕНИЯ FEO/MGO В ВУЛКАНИТАХ СЕВЕРНОЙ ЧАСТИ ЦЕНТРАЛЬНО-КАМЧАТСКОЙ ДЕПРЕССИИ (по данным М.В. Портнягина)





Врезка демонстрирует современное положение Тихоокеанской плиты в зоне погружения под Камчаткой



# ПРОСТРАНСТВЕННЫЕ ВАРИАЦИИ ГЕОХИМИЧЕСКИХ ХАРАКТЕРИСТИК ВУЛКАНИТОВ ИЗ СЕВЕРНОЙ ЧАСТИ ЦКД

По данным М.В.Портнягина

#### Three Dimensional Images of the Kamchatka-Pacific Plate Cusp

Jonathan M. Lees<sup>1</sup>, John VanDecar<sup>2</sup>, Evgenii Gordeev<sup>3</sup>, Alexei Ozerov<sup>3</sup>, Mark Brandon<sup>4</sup>, Jeff Park<sup>4</sup>, Vadim Levin<sup>5</sup>

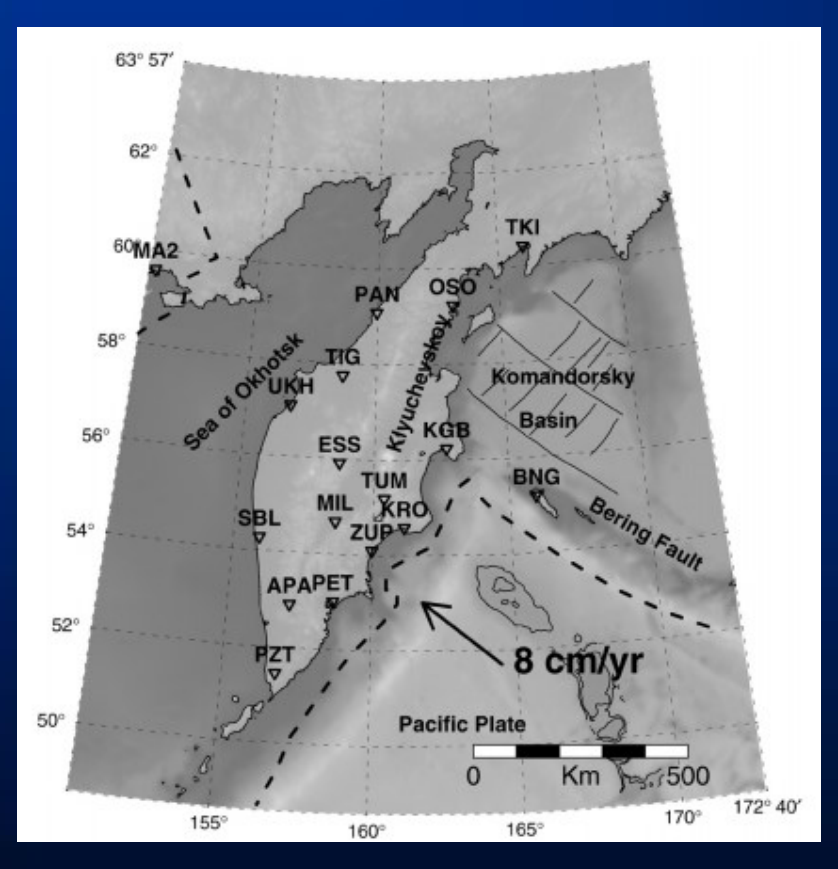


Figure 1. Map of the Kamchatka-Aleutian region. Showing station locations of the SEKS (Side Edge of Kamchatka Slab) array (red) and permanent GSN stations (MA2, PET) in the region. Stations KGB, KRO, ZUP, PET and PZT are located along the volcanic arc. Station BNG was located on Bering Island. The central Kamchatka

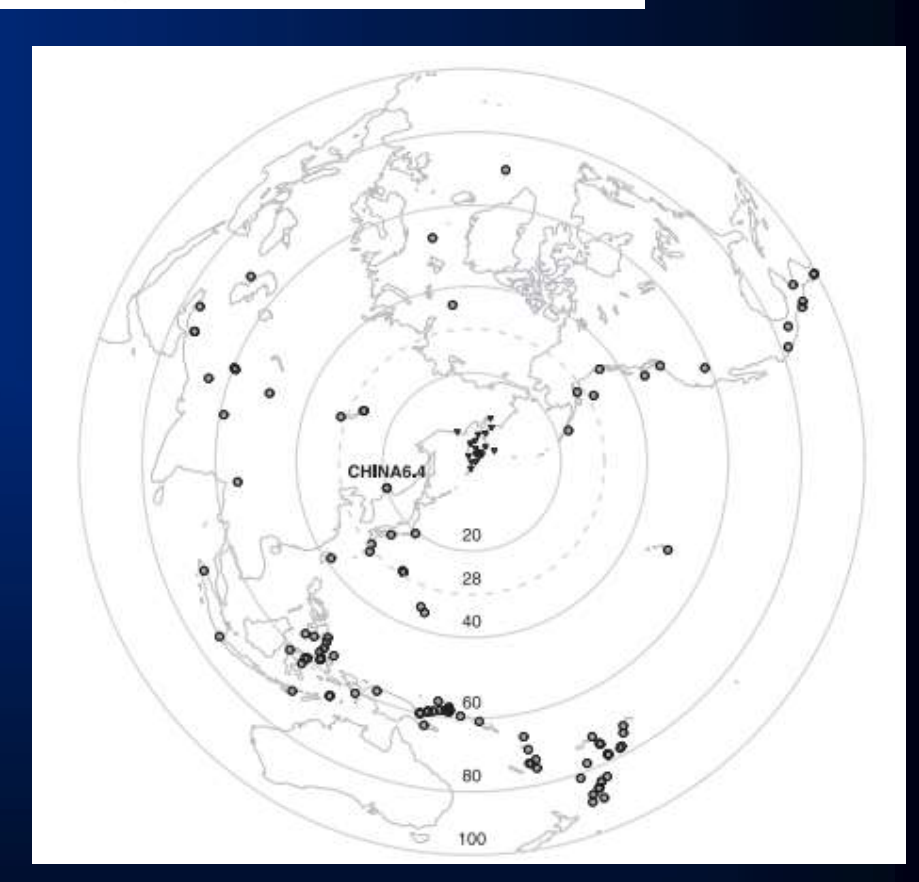


Figure 2. Equal-area projection of the world with Kamchatka at the center. SEKS array is represented as small triangles on the Kamchatka Peninsula. Small circles are earthquake hypocenters for events recorded in 1998–1999 by the SEKS array in Kamchatka. Of 107 events identified, 102 were used in the tomographic inversion. Events with distance less than 30° were excluded except for the notable event marked CHINA64 which occurred on April 8, 1999 at 1:10 GMT. This event was located at 565 km depth.

#### Three Dimensional Images of the Kamchatka-Pacific Plate Cusp

Jonathan M. Lees<sup>1</sup>, John VanDecar<sup>2</sup>, Evgenii Gordeev<sup>3</sup>, Alexei Ozerov<sup>3</sup>, Mark Brandon<sup>4</sup>, Jeff Park<sup>4</sup>, Vadim Levin<sup>5</sup>

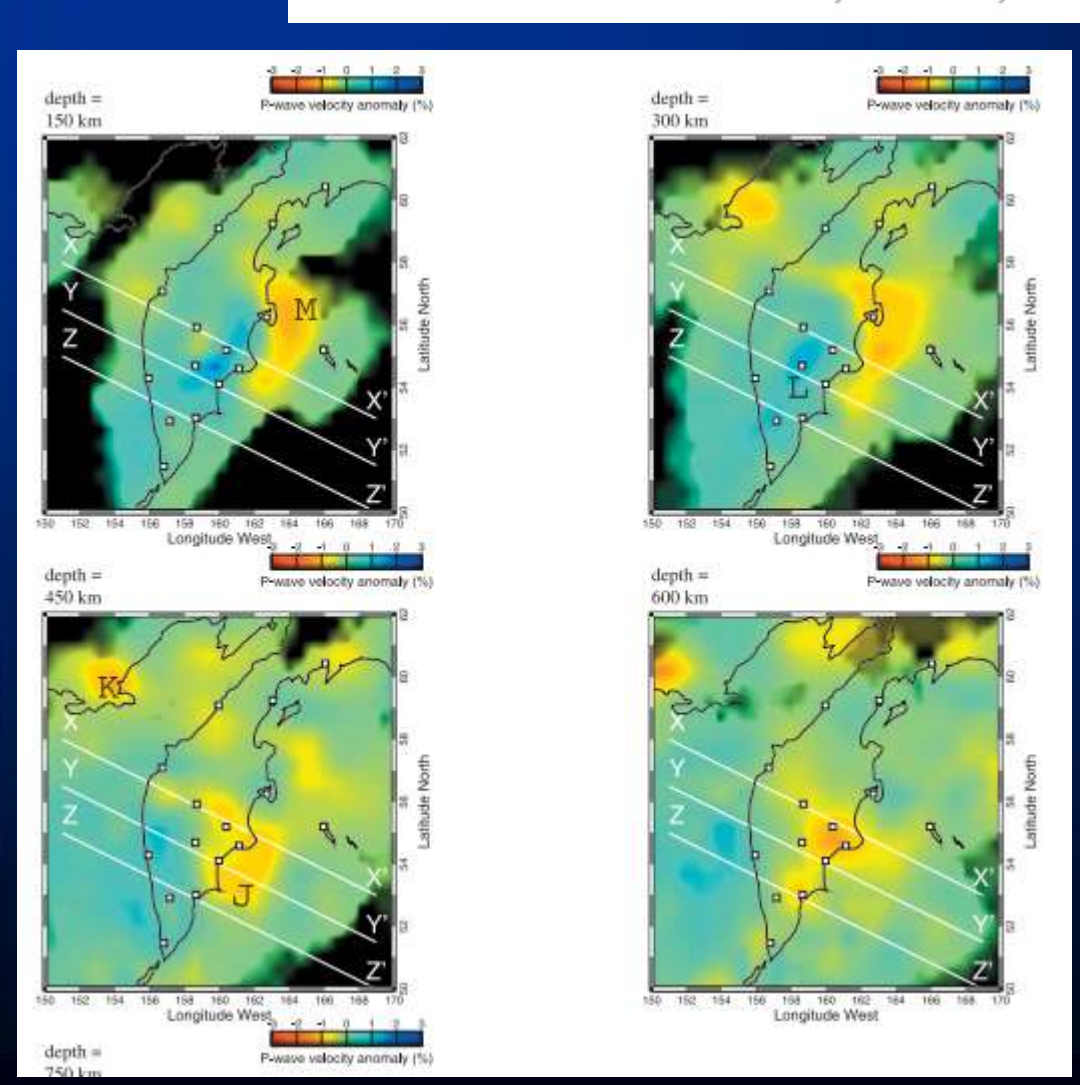


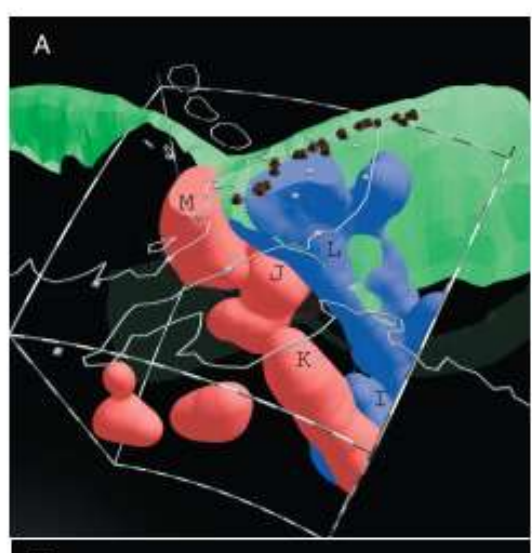
Plate 1. Horizontal slices through the tomographic model. Slices are taken at depths 150–750 showing perturbations of the velocity to the background, one-dimensional velocity model. Color scales range from blue (fast) to red (slow) marking perturbations in the velocity inversion. All colored regions are darkened to black where ray coverage get sparse. Loci for vertical cross sections presented in Plate 2 (X,Y,Z) are shown for reference. Points of interest discussed in the text are marked with letters (I-M).

#### L2 P-wave inversion

Z: (54.00N, 151.00E)

Plate 2. Vertical cross sectional slices through the tomographic model. Map orientation of the cross sections is shown in Plate 1.

Z': (52,00N, 169,00E)



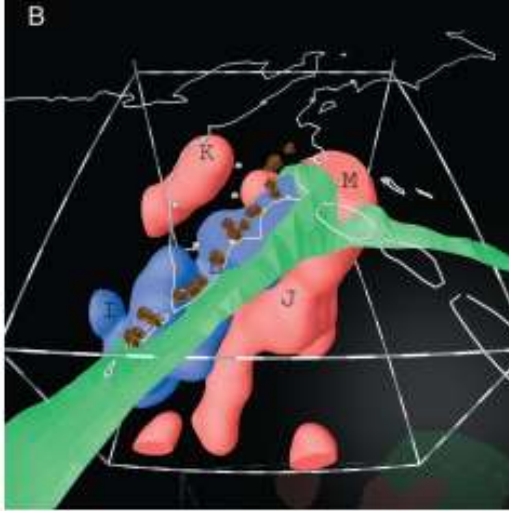


Plate 3. Tomographic image of the Kamchatka Subduction zone rendered in three-dimensions. The cut-off perturbation level is 3% with blue regions being high velocity and red lower velocity perturbations. The slab is a clear high velocity zone approximately 100 km thick plunging into the upper mantle at an angle of -50°. The green plane represents the top of the subduction zone seismicity, contoured and rendered along with the tomographic images. Gold cones are active volcanoes along the Kamchatka are and white squares are stations included for reference to the map in Figure 1. The bars represent length scales of 100 km. Points of interest discussed in the text are marked with letters (1–M).

## СЕЙСМИЧЕСКАЯ ТОМОГРАФИЯ КАМЧАТКИ

#### ГЕНЕТИЧЕСКИЕ АЛЬТЕРНАТИВЫ

Отсутствует консенсус в понимании и глубинных процессов в ходе масштабных структурных преобразований.

Формирование вулканических серий, не типичных для зон холодной субдукции - шошонит-латитовой и платобазальтовой в СХ (Волынец и др, 1983; Антипин и др., 1987; Churikovaetal., 2001), магнезиальных андезитов и высокониобиевых базальтов в ЦКД (Перепелов, 2013) рассматривается как следствие:

- (1) поднятия плюмов из глубинных частей мантии (Volynets, 1994),
- (2) аномально высоких температур мантийного клина вблизи бокового края погружающейся океанической плиты (Tatsumi et al., 1995),
- (3) наличия под СХ высоко нагретой (600-700°С) пластичной асейсмичной плиты (Чурикова и др., 2009), ...

#### ГЕНЕТИЧЕСКИЕ АЛЬТЕРНАТИВЫ

- (4) горизонтальных мантийных течений, огибающих погруженную часть Тихоокеанской плиты северо-западнее Командорских островов (Parketal., 2001),
- (5) притока обогащенной тихоокеанской мантии вместе с потоком флюида в мантийный клин (Portnyagin et al., 2005),
- (6) разрыва океанической плиты и формирование субдукционных окон (Yogodzinskietal., 2001),
- (7) отрыва фрагментов океанической плиты (Levin et al., 2002) или ее плавление (Portnyagin et al., 2007).

#### ТОЛЕИТ-БАЗАЛЬТОВЫЕ СЕРИИ ВОСТОЧНОЙСЕРИЙ КАМЧАТКИ



#### Модель тектонической эволюции Восточной Камчатки

(по А.В. Соловьеву)

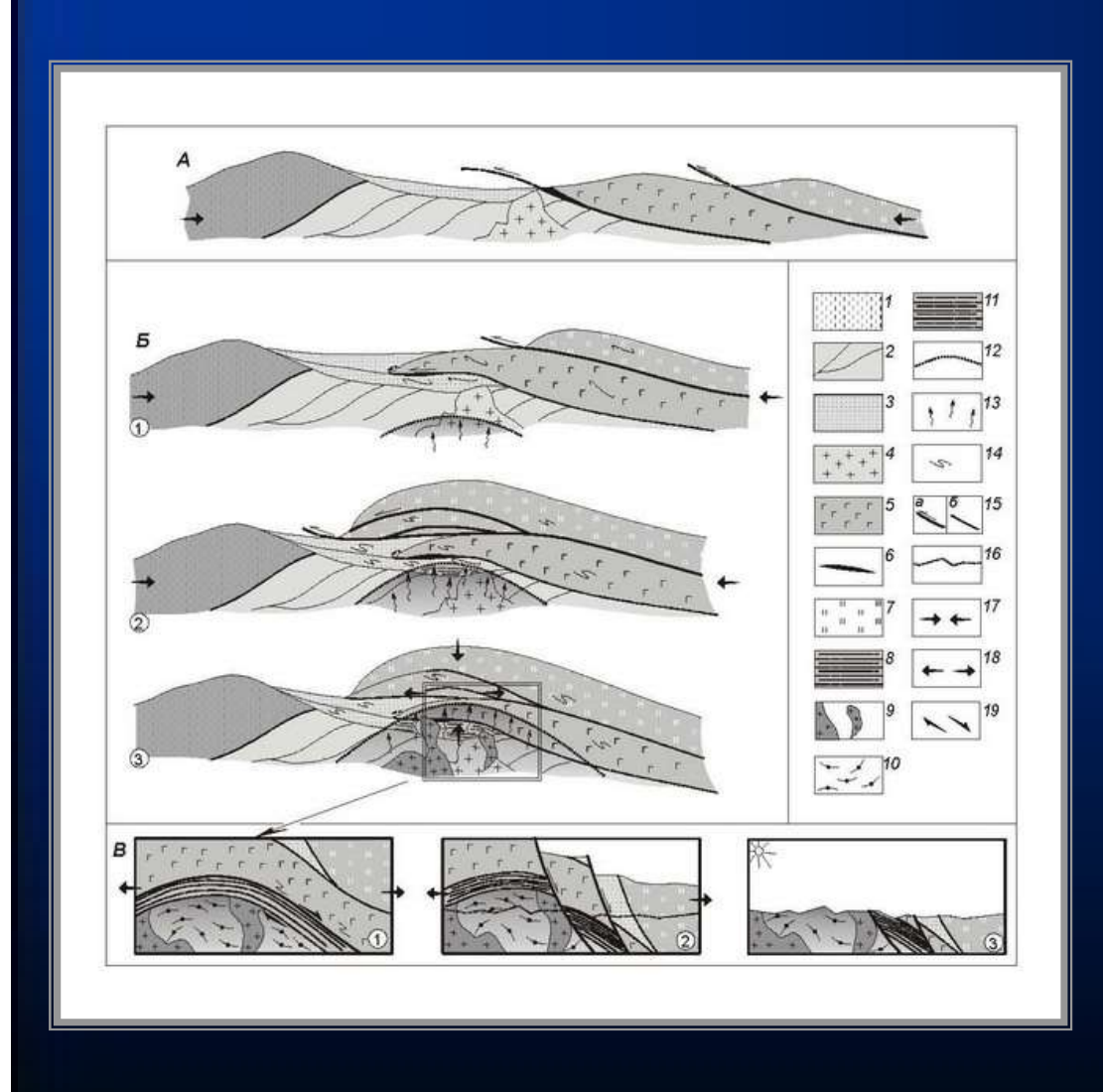


Рис. 5. Схема тектонической эволюции Андриановского шва (вне масштаба, пояснения в тексте) (Кирмасов и др., 2004): А - предколлизионная стадия ( 60 млн. лет назад); Б - коллизионная стадия ( 55 - 52 млн. лет назад); В - постколлизионная стадия (после 52 млн. лет назад).

1 - гетерогенные комплексы северовосточной окраины Евразии; 2 терригенные комплексы аккреционной призмы; 3 - осадочный чехол аккреционной призы; 4 - граниты крутогоровского комплекса; 5 - образования андриановской свиты; 6 - базиты и гипербазиты; 7 отложения ирунейской свиты; 8 - сланцы камчатской серии; 9 - синкинематические граниты; 10 - гнейсы колпаковской серии (только для схемы В), 11 - милониты по породам камчатской серии в зоне пластичного сброса (только для схемы В); 12 - метаморфический фронт; 13 мигматизация, гранитизация; 14 - складки; 15 - разрывы (а - активные, б - неактивные); 16 - уровень современного эрозионного среза (для схеме В, 2); 17-19 -